

# 波の遡上、越波および反射の関連性について（第2報）\*

## ——堤脚水深の影響——

高田

彰\*\*

### 1. まえがき

波の遡上、越波および反射は、海岸および港湾の構造物を設計する場合に、防災と機能の面から、とくに検討すべき重要な要素である。

波の遡上高、越波水量および反射率は、波動エネルギーを媒体として、相互に関連性があると考えられる。

しかし、それらは現象を2次元的に考えても、堤体のり面の形状と構造、天端高、堤脚水深、海底勾配、波形勾配および風などの影響によって、著しく異なり、複雑な変化をしている。

著者は、本研究の第1報<sup>1)</sup>において、碎波点以深に設置される、いわゆる重複波水深領域の单一のり勾配の堤体について、2次元の波の遡上高、越波水量および反射率が、のり勾配および波形勾配によってどのように変化するかを調べ、さらに波の遡上、越波および反射の相互の関連性について、二、三の成果を明らかにした。

第2報は、2次元の波の遡上高、越波水量および反射率が、堤脚水深によってどのように変化するかを調べ、さらにそれらの相互の関連性が堤脚水深によってどのように異なるかを、これまでの実験結果から総合的に検討したものである。

### 2. 研究方法

図-1に示すように、一様な海底勾配  $\tan \alpha$  の上に、单一のり勾配  $\tan \theta$  の不透過斜面堤を設置した、2次元の場合について考える。

静水位上の遡上高  $R$ 、一周期の越波水量  $Q_i$  および反

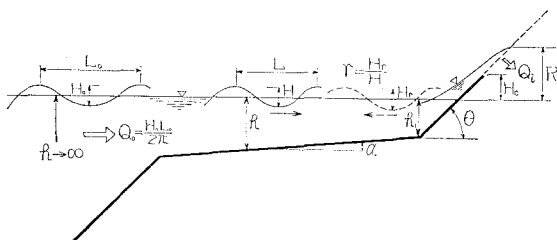


図-1 波の遡上、越波および反射波

射率  $r$  に関する主な要素は、次元解析より次のように示される。

$$\frac{R}{H_0} = f_1 \left\{ \tan \alpha, \tan \theta, \frac{H_0}{L_0}, \frac{h_1}{H_0} \left( \text{or } \frac{h_1}{L_0} \right), \frac{k_s}{H_0} \right\} \quad (1)$$

$$\frac{2\pi Q_i}{H_0 L_0} = f_2 \left\{ \tan \alpha, \tan \theta, \frac{H_c}{H_0}, \frac{H_0}{L_0}, \frac{h_1}{H_0} \left( \text{or } \frac{h_1}{L_0} \right), \frac{k_s}{H_0} \right\} \quad (2)$$

$$r = f_3 \left\{ \tan \alpha, \tan \theta, \frac{H_0}{L_0}, \frac{h_1}{H_0} \left( \text{or } \frac{h_1}{L_0} \right), \frac{k_s}{H_0} \right\} \quad (3)$$

$k_s$ ：のり面の砂粒相当粗度高  
本実験において、重複波水深（碎波以深）領域は、 $\tan \alpha = 0$  とし、碎波以浅および汀線領域は、 $\tan \alpha = 1/10$  にした。また、のり面は、ラワン材の平滑面とし、 $H_0$  はほぼ一定にしたので、 $k_s/H_0$  は近似的に一定とみなすことができる。

それゆえ、本研究の対象となる無次元量は次のようになる。

$$\frac{R}{H_0} = f'_1 \left\{ \tan \theta, \frac{H_0}{L_0}, \frac{h_1}{H_0} \left( \text{or } \frac{h_1}{L_0} \right) \right\} \quad (4)$$

$$\frac{2\pi Q_i}{H_0 L_0} = f'_2 \left\{ \tan \theta, \frac{H_c}{H_0}, \frac{H_0}{L_0}, \frac{h_1}{H_0} \left( \text{or } \frac{h_1}{L_0} \right) \right\} \quad (5)$$

$$r = f'_3 \left\{ \tan \theta, \frac{H_0}{L_0}, \frac{h_1}{H_0} \left( \text{or } \frac{h_1}{L_0} \right) \right\} \quad (6)$$

今回の報告は、 $R/H_0$ 、 $2\pi Q_i/(H_0 L_0)$  および  $r$  と  $\cot \theta$  の関係が  $h_1/H_0$  (or  $h_1/L_0$ ) によって、どのように変化し、相互の関連性にどのような影響をおよぼすかを3種類の  $H_0/L_0 (= 0.02, 0.03 \text{ および } 0.05)$  の波について検討する。

なお、相互の関連性を比較するために、堤脚水深を3種類に大別し、重複波水深（碎波以深）領域、碎波以浅領域および汀線領域について考察する。

### 3. 実験装置と実験方法

#### (1) 実験装置

第1報<sup>1)</sup>で用いた装置と同一であるが、幅 0.3m、高さ 0.52 m、長さ 21.4 m の可傾式造波水路であり、 $H_{\max} = 0.1 \text{ m}$  ( $h = 0.35 \text{ m}$ )、 $T = 0.5 \sim 1.75 \text{ sec}$  の波を発生させることができる。

\* 第1報は、土木学会論文報告集（第182号、1970年10月）に発表

\*\* 正会員 工修 中部工業大学助教授 工学部土木工学科室

## (2) 実験方法

実験は、堤脚水深を重複水深（碎波以深）領域、碎波以浅領域および汀線領域の3種類に大別して行なう。

## 重複波水深領域の実験

実験は、図-2に示すように、一様水深から直接斜面( $\cot \theta = 0 \sim 4$ )の始まる場合を対象にして一様水深  $h = 21\text{ cm}$  または  $32\text{ cm}$ ,  $h_1/H_0 = 2.66 \sim 4.05$  とし、汀線および碎波以浅領域の実験は、海底勾配  $\tan \alpha = 1/10$ 、堤脚水深  $h_1 = 0, 3$  および  $6\text{ cm}$ ,  $h_1/H_0 = 0 \sim 0.83$  とする。

実験波は、I の波 ( $T=1.0\text{ sec.}$ ,  $H=7.2\text{ cm}$ ,  $h=21\text{ cm}$ ,  $H_0/L_0=0.051$ ), II の波 ( $T=1.2\text{ sec.}$ ,  $H=6.7\text{ cm}$ ,  $h=21\text{ cm}$ ,  $H_0/L_0=0.032$ ), III の波 ( $T=1.6\text{ sec.}$ ,  $H=7.7\text{ cm}$ ,  $h=21\text{ cm}$ ,  $H_0/L_0=0.019$ ), および IV の波 ( $T=1.6\text{ sec.}$ ,  $H=7.6\text{ cm}$ ,  $h=32\text{ cm}$ ,  $H_0/L_0=0.020$ ) とし、実験条件は、堤脚水深および天端高の組合せから、表-1に示される。

遡上高および越波水量の測定方法は、第1報<sup>1)</sup>と同様であるが、遡上高については、算定式の適合性とその適用限界を検討し、越波水量については、最大越波量を生ずるのり勾配が堤脚水深によってどのように異なるかを調べる。

反射率は、Miche の算定式<sup>2)</sup>を適用するため実験を省略し、室田らの実験値<sup>3), 4)</sup>および石原・岩垣・鈴木の実験値<sup>5)</sup>と比較して、Miche の算定式の適合性を検討する。

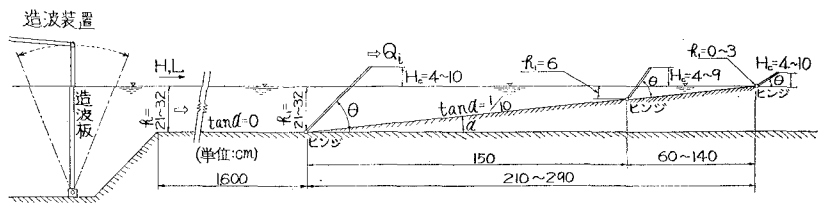


図-2 実験断面

さらに、以上のことから総合的に検討して、波の遡上、越波および反射の相互の関連性が、堤脚水深によってどのように異なるかを明らかにする。

## 4. 実験結果とその考察

## 4.1 波の遡上高

## (1) 算定式の適合性

著者は、第1報<sup>1)</sup>において、重複波水深（碎波以深）領域の遡上高の算定式をのり勾配の大小により、surging waves 領域と breaking waves 領域に分けて、次のように提案した。

$$\text{i) surging waves 領域} \left( H_0/L_0 \leq \sqrt{\frac{2\theta}{\pi}} \cdot \frac{\sin^2 \theta}{\pi} \right)$$

$$\frac{R}{H_0} = \left\{ \sqrt{\frac{\pi}{2\theta}} + \pi \frac{H_1}{L_1} \phi \left( \frac{h_1}{L_1} \right) \right\} \cdot \frac{H_1}{H_0} \quad \dots\dots\dots (7)$$

$$\text{ii) breaking waves 領域} \left( H_0/L_0 > \sqrt{\frac{2\theta}{\pi}} \cdot \frac{\sin^2 \theta}{\pi} \right)$$

$$\frac{R}{H_0} = \left\{ \sqrt{\frac{\pi}{2\theta_c}} + \pi \frac{H_1}{L_1} \phi \left( \frac{h_1}{L_1} \right) \right\} \cdot \frac{H_1}{H_0} \cdot \left( \frac{\cot \theta_c}{\cot \theta} \right)^{2/3} \quad \dots\dots\dots (8)$$

表-1 実験条件

| Run No.                 | I   | II  | III                                       | IV           |
|-------------------------|---|---|---|--------------|
| 一様水深 $h\text{cm}$       | 21  | 21  | 21  | 32           |
| 周期 $T_{\text{sec}}$     | 10  | 12  | 16  | 16           |
| 引け波高 $H$                | 7.2   | 6.7                                       | 7.7                                       | 7.6          |
| によるお値 $(\text{cm})$     | 122.8   | 154.5                                     | 216.1                                     | 266          |
| 深水 $H_0$                | 7.9   | 7.2                                       | 7.6                                       | 7.9          |
| 波長 $L_0$                | 156.0   | 224.7                                     | 399.4                                     | 399.5        |
| 波形勾配 $H/L_0$            | 0.059   | 0.043                                     | 0.036                                     | 0.029        |
| 比水深 $R/L_0$             | 0.051   | 0.032                                     | 0.019                                     | 0.020        |
| 比水深 $R/L_0$             | 0.171   | 0.136                                     | 0.097                                     | 0.120        |
| 相対水深 $R/H$              | 0.135   | 0.093                                     | 0.053                                     | 0.080        |
| 相対水深 $R/H$              | 2.92  | 3.13                                      | 2.73                                      | 4.21         |
| 相対水深 $R/H$              | 2.66  | 2.92                                      | 2.76                                      | 4.05         |
| 細目分類                    | a b c   | a b c                                     | a b c                                     | A B          |
| 海底勾配 $\tan \alpha$      | $1/10$ 0  | $1/10$ 0                                  | $1/10$ 0                                  | $1/10$ 0     |
| 堤脚水深 $R/L_0$            | 0 6 21  | 0 6 21                                    | 0 6 21                                    | 3 32         |
| 堤脚水深 $R/L_0$            | 0 0.049 0.171                                   | 0 0.039 0.136                             | 0 0.028 0.097                             | 0.0113 0.120 |
| 比水深 $R/L_0$             | 0 0.036 0.135                                   | 0 0.027 0.093                             | 0 0.015 0.053                             | 0.0075 0.080 |
| 堤脚水深 $R/H$              | 0 0.833 2.92                                    | 0 0.866 3.13                              | 0 0.779 2.73                              | 0.394 4.21   |
| 相対水深 $R/H$              | 0 0.759 2.66                                    | 0 0.833 2.92                              | 0 0.769 2.76                              | 0.380 4.05   |
| 静水面 上天端高 $H(\text{cm})$ | 4 9 9 4 9 9 6 9 9                               | 4 7 10 4 7 10                             | 4 7 10 4 7 10                             |              |
| 相対天端高 $H/H_0$           | 0.956 1.25 1.25 0.957 1.34 1.34 0.779 1.17 1.17 | 0.526 0.921 0.921 1.316 0.526 0.921 1.316 | 0.526 0.921 0.921 1.266 0.506 0.886 1.266 | 0.921 1.316  |
| 天端高 $H/H_0$             | 0.506 1.14 1.14 0.956 1.27 1.27 0.781 1.18 1.18 | 0.506 0.886 0.886 1.266 0.506 0.886 1.266 | 0.506 0.886 0.886 1.266                   |              |

ここで、 $\phi(h_1/L_1)$  は、Sainflou の重複波の水面波形を用いれば、次式で表わされる関数である。

$$\phi(h_1/L_1) = \coth \frac{2\pi h_1}{L_1} \dots \dots \dots \quad (9)$$

Miche の重複波の水面波形を用いれば、次式で表わされる関数である。

$$\phi(h_1/L_1) = \coth \frac{2\pi h_1}{L_1} \left\{ 1 + \frac{3}{4 \left( \sinh \frac{2\pi h_1}{L_1} \right)^2} - \frac{1}{4 \left( \cosh \frac{2\pi h_1}{L_1} \right)^2} \right\} \dots \quad (10)$$

式(8)の  $\theta_c$  は, breaking waves を生ずる最急傾斜角度, または surging waves を生ずる最緩傾斜角度であり, 次式で表わされる。

$$\sqrt{\frac{2\theta_c}{\pi}} \cdot \frac{\sin^2 \theta_c}{\pi} = \frac{H_0}{L_0} \dots \dots \dots (11)$$

$H_1/H_0$  および  $H_1/L_1$  は、Airy の微小振幅波理論の成り立つ範囲において、次のようにあらわされる<sup>6)</sup>。

ただし、波の屈折、回折およびエネルギー損失を無視している。

$$\frac{H_1}{H_0} = \sqrt{\frac{\sinh(4\pi h_1/L_1) \cdot \coth(2\pi h_1/L_1)}{(\sinh 4\pi h_1/L_1) + (4\pi h_1/L_1)}} \dots \dots \dots (12)$$

$$\frac{H_1}{L_1} = \frac{H_0}{L_0} \cdot \frac{H_1}{H_0} \cdot \coth \frac{2\pi h_1}{L_1} \\ = \frac{H_0}{L_0} \cdot \sqrt{\frac{\sinh(4\pi h_1/L_1)}{\sinh(4\pi h_1/L_1) + (4\pi h_1/L_1)}} \\ \times \left( \coth \frac{2\pi h_1}{L_1} \right)^{3/2} \dots \dots \dots \quad (13)$$

式中,  $H_0, L_0$ : 波水波の波高および波長,  $H_1, L_1$ : 堤脚水深  $h_1$  における入射波の波高および波長。

Iversen<sup>7)</sup> あるいは岸ら<sup>8)</sup>によれば、式(12)は  $h_1/L_1 < 0.13$ において、実測値より小さくなり、碎波点で 10 %の誤差がある。また、三井ら<sup>9), 10)</sup>によれば、 $h_1/H_0 < 3.5$ において、実験値よりやや小さいとしている。

それゆえ、 $h_1/L_1 < 0.13$  あるいは  $h_1/H_0 < 3.5$ において、式(12)を適用すれば、 $R/H_0$ を実際よりも小さく見積ることになるので、この範囲では、ストークス波またはクノイド波の理論が適当と考えられる。

なお、式(13)は、進行波の碎波点まで、比較的よく一致するとしている<sup>7), 8)</sup>。

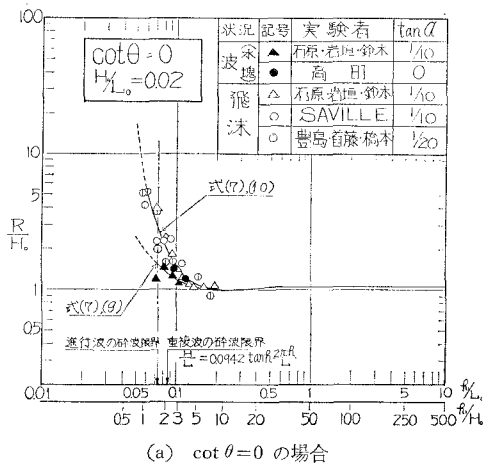
第1報<sup>1)</sup>では、 $h_i/H_0 < 3$ における遇上高を調べ、算定式(7)および(8)は、実験値とかなりよく一致することを明らかにした。

しかし、式(7)および(8)の  $\phi(h_1/L_1)$  は、重複波の水面波形の表わし方によって異なる。

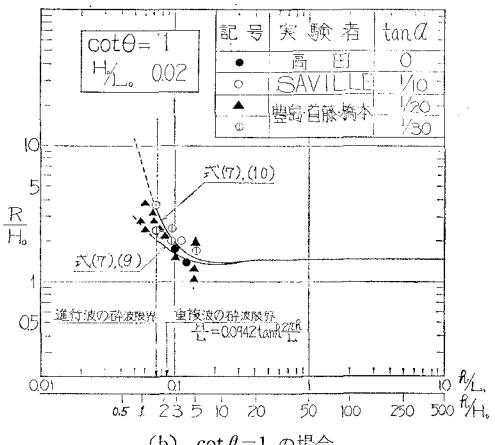
すなわち、Sainflou の重複波水面波形より導かれる式(9)を用いれば、一般に実験値にはほぼ等しいか、小さい傾向にあり、Miche の重複波水面波形の式から導かれる式(10)を用いれば、一般に、実験値とほぼ等し

いか、大きい傾向にあることを明らかにした<sup>1)</sup>。

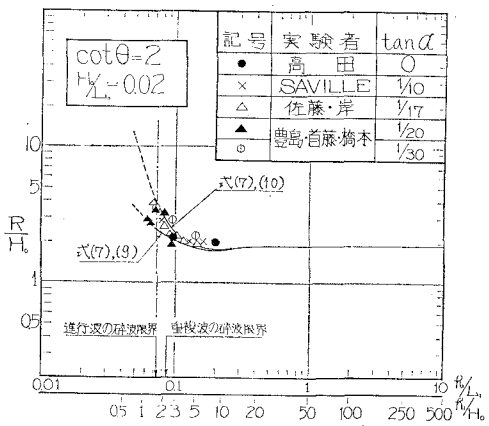
そこで、第2報では、 $h_i/H_i \geq 3$  の実験値を追加して、重複波の水面波形に Sainflou 式と Miche 式のいずれを用いた場合に、 $R/H_i$  の算定式の適合性がよいかを検



(a)  $\cot \theta = 0$  の場合



(b)  $\cot \theta = 1$  の場合



(c)  $\cot \theta = 2$  の場合  
算定式の適合性とその適用限界  
(surging waves 領域)

討し、さらに算定式の適用限界を明らかにする。

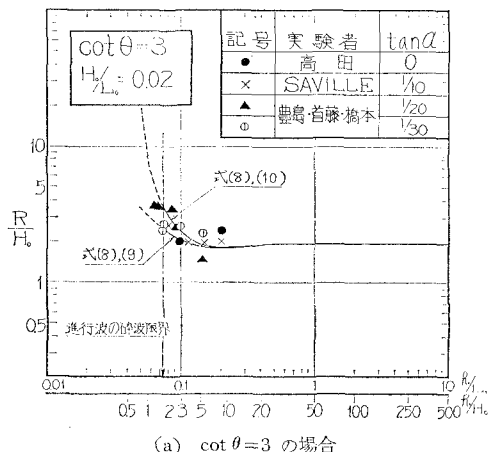
$H_0/L_0=0.02$  の波は、式(11)より、 $\cot\theta \leq \cot\theta_c = 2.592$ において surging waves 領域、 $\cot\theta > 2.592$ において breaking waves 領域となる。

図-3(a), (b) および(c) は、surging waves 領域の  $R/H_0$  として、 $\cot\theta = 0, 1$  および 2 について、算定式(7)より計算し、実験値と比較したものである。

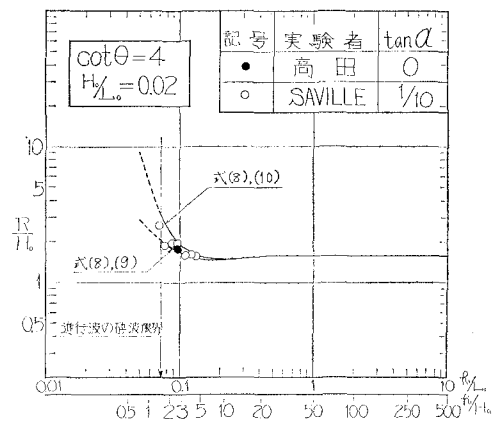
なお、著者の実験値のほかに、石原・岩垣・鈴木<sup>5)</sup>、Saville<sup>12)</sup>、佐藤・岸<sup>13)</sup> および豊島・富永・首藤・橋本<sup>14), 15), 16)</sup> の実験値をプロットして、海底勾配 ( $\tan\alpha = 1/10 \sim 1/30$ ) の影響も調べた。

これらより、 $\cot\theta = 0$  では、式(10) [Miche 式] を用いた算定式(7)は、飛沫を含む波の打ち上げ高さの実験値とかなりよく一致しているが、式(9) [Sainflou 式] を用いた算定式(7)は、波の実質部分の週上高の実験値と比較的よく一致している。

$\cot\theta = 1$  および 2 では、式(9)を用いた場合は、実験値にはほぼ等しいか、やや小さく、式(10)を用いた場合は、実験値にはほぼ等しいか、やや大きいと考えられ



(a)  $\cot\theta = 3$  の場合



(b)  $\cot\theta = 4$  の場合

図-4 算定式の適合性とその適用限界  
(breaking waves 領域)

る。

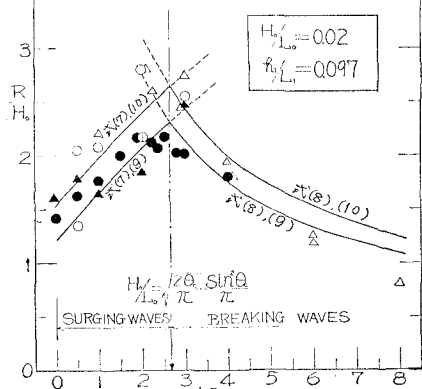
以上より、海底勾配のある場合も含めて考えると、実験値は、かなり変動しているが、一般に海底勾配のある場合の方が、 $R/H_0$  の実験値が大きくなる。

それゆえ、surging waves 領域の  $R/H_0$  は、式(10) [Miche 式] を用いた算定式(7)が全体的に適合性がよく、かなりの精度が期待できるといえる。

図-4 (a) および(b) は、breaking waves 領域の  $R/H_0$  として、 $\cot\theta = 3$  および 4 について、算定式(8)より計算し、実験値と比較したものである。

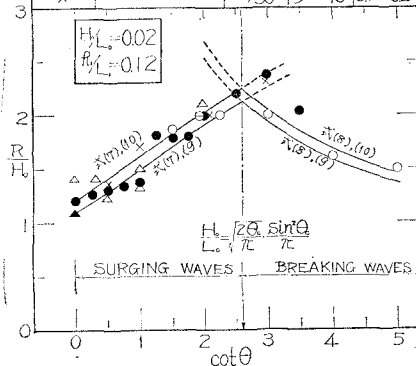
なお、著者の実験値のほかに、Saville<sup>12)</sup> および豊島・富永・首藤・橋本<sup>14), 15), 16)</sup> の実験値もプロットして、海底勾配の影響も調べた。

| 記号 | 実験者      | $\tan\alpha$ | $R/H_0$ | $H_0/L_0$ |
|----|----------|--------------|---------|-----------|
| ●  | 高田       | 0            | 276     | 0.053     |
| △  | SAVILLE  | $1/10$       | 1~3     | —         |
| ○  | 佐藤・岸     | $1/17$       | 276     | 0.053     |
| ▲  | 豊島・首藤・橋本 | $1/20$       | 250     | 0.05      |
| ○  | 豊島・首藤・橋本 | $1/30$       | 250     | 0.05      |



(a)  $h_1/H_0 = 2.76 (h_1/L_1 = 0.097)$  の場合

| 記号 | 実験者      | $\tan\alpha$ | $R/H_0$ | $H_0/L_0$ |
|----|----------|--------------|---------|-----------|
| ●  | 高田       | 0            | 4.05    | 0.08      |
| ○  | Saville  | $1/10$       | >3      | —         |
| ▲  | 石原・岩垣・鈴木 | $1/10$       | 4.1     | 0.08      |
| ○  | 佐藤・岸     | $1/17$       | 4.1     | 0.08      |
| △  | 豊島・首藤・橋本 | $1/20$       | 5       | 0.10      |
| ×  | 豊島・首藤・橋本 | $1/30$       | 5~10    | 0.01~0.02 |



(b)  $h_1/H_0 = 4.05 (h_1/L_1 = 0.12)$  の場合

図-5  $R/H_0$  と  $\cot\theta$  の関係

これらより、実験値は、式(9)を用いた場合と式(10)を用いた場合の間にプロットされるが、一般に式(10)を用いた算定式(8)の適合性が、全般によいと考へられる。

さらに、図-5 (a) および (b) は、 $H_0/L_0=0.02$  の波について、 $\cot \theta$  と  $R/H_0$  の関係を実験値と比較したもので、(a) 図は、 $h_1/H_0=2.76$  ( $h_1/L_1=0.097$ )、(b) 図は、 $h_1/H_0=4.05$  ( $h_1/L_1=0.12$ ) である。

これからも明らかなように、式(10)を用いた算定式(7)および(8)は比較的よく実験値の傾向を表わしており、適合性がよいといえる。また、一般に安全側の値を与えるので、実際の適用においても好都合であろう。

## (2) 算定式の適用限界

$R/H_0$  の算定式(7)および(8)は、堤脚水深が重複波水深(碎波以深)領域にある場合を対象に導かれたので、その適用限界は、進行波の碎波点が一応の目安と看えられる。

首藤<sup>17)</sup>によれば、進行波の碎波限界を図-6(a)のように理論的に示しているが、U. S. Beach Erosion

Board の現地観測値<sup>⑯), 18)</sup>, Suquet-Walletの実験値<sup>19)</sup>および Iversen の実験値<sup>20)</sup>とかなりよく一致することが明らかにされている。

そこで、首藤の導いた進行波の碎波限界を図-3 (a), (b), (c) および図-4 (a), (b) に記入したところ、 $\cot \theta = 2, 3$  および 4 では算定式 (7) および (8) の適用限界とほぼ一致しており、 $(R/H_0)_{\max}$  は、ほぼ碎波点で生じている。

しかし、 $\cot \theta = 0$  および 1 では、 $(R/H_0)_{\max}$  を生ずる堤脚水深は、碎波点よりやや浅いところにあるので、適用限界もその水深までと考えられる。

一方、海上高を最大にする堤脚水深は、佐藤<sup>11), 24)</sup>、石原・岩垣ら<sup>5)</sup>、佐藤・岸<sup>13)</sup>および豊島ら<sup>14), 16)</sup>によれば、図-6(b)で示されるが、一般にのり勾配、波形勾配および海底勾配によって異なる。

図-6(b)より、 $\tan \theta$ の小さいほど、また、 $H_0/L_0$ の大きいほど、 $(R/H_0)_{\max}$ を生ずる  $h_1/L_1$  は、大きくなることがわかる。 $\tan \alpha = 1/20 \sim 1/30$  では一般に  $\tan \theta \approx 1$  を境にして、 $\tan \theta = 1 \sim \infty$  では碎波後に、 $\tan \theta < 1$  では碎波前に  $(R/H_0)_{\max}$  を生じている<sup>14), 15)</sup>。

また、 $\tan \theta = 1/3 \sim 1/2$  では、 $(R/H_0)_{\max}$  を生ずる  $h_1/L_1$  は  $H_0/L_0$  の小さいほど碎波点に近接し、 $H_0/L_0$  が大きくなると碎波点より次第に離れ、碎波点より深いところで生ずる<sup>13), 14), 16)</sup>。

これらのこととは、比較点緩勾配の斜面では、斜面上に  
碎波点の存在することと関連づけて説明できる。

以上より、算定式(7)および(8)の適用限界は、  
のり勾配、波形勾配および海底勾配によって異なること  
になり、一応図-6(b)で示され、近似的に、碎波点ま  
たは碎波点前後と著えられる。

なお、重複波の碎波限界は、岸<sup>21)</sup>により、理論的に次の式で求められる。

$$\frac{H_1}{L_1} = \frac{0.592}{2\pi} \tanh \frac{2\pi h_1}{L_1} \dots \dots \dots (14)$$

式(14)は、 $\tan \alpha = 0$  の surging waves 領域の算定式(7)の適用限界を表わしていると考えられるが、計算結果は、図-6(a)に示され、図-3(a), (b)および(c)にも記入している。

### (3) 堤脚水深の影響

遡上高におよぼす堤脚水深の影響は、碎波および碎波以浅領域において特に著しい。重複波水深領域では、すでに算定式(7), (8), 図-3(a), (b), (c) および図-4(a), (b)において、堤脚水深の影響を明らかにしたので、ここでは、とくに、碎波以浅領域の遡上高におよぼす堤脚水深の影響を検討する。

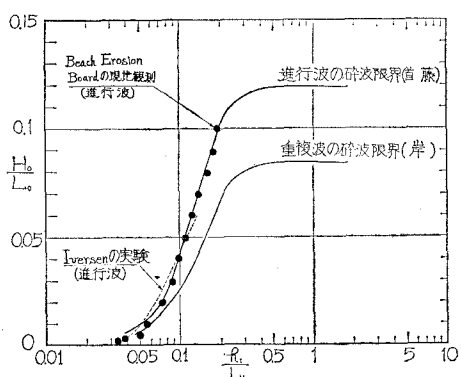


図-6 (a) 進行波および重複波の碎波限界

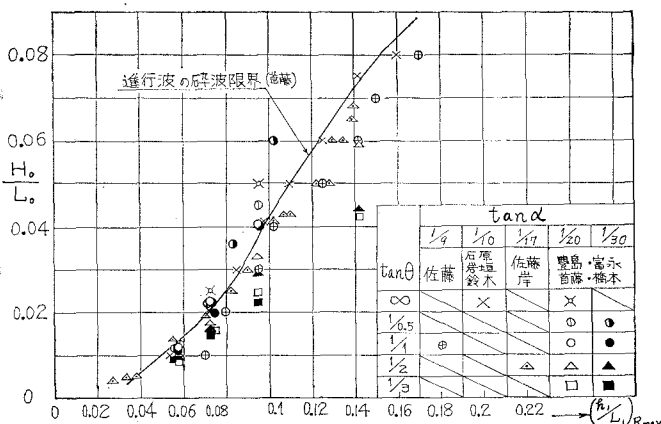


図-6 (b)  $(R/H_0)_{\max}$  を生ずる堤脚水深 (算定式の適用限界)

堤脚水深が碎波以浅にある場合は、海底勾配の影響が大きいので、一律に論ずることはできないが、従来の実験結果を集めて比較したのが、図-7(a)および(b)に示される。

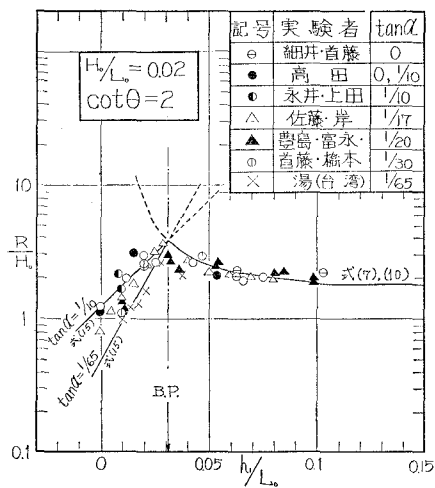
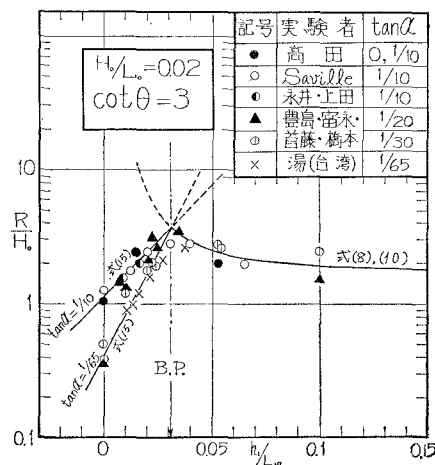
(a)  $\cot \theta = 2$  の場合(b)  $\cot \theta = 3$  の場合

図-7 遷上高におよぼす堤脚水深の影響

これらの結果を総合すると、堤脚水深が碎波以浅から汀線の間にある場合は、一般式を近似的に次の式で表わすことができる。

$$\frac{R}{H_0} = \left( \frac{R}{H_0} \right)_{h_1=0} \cdot \left[ \frac{(R/H_0)_{\max}}{(R/H_0)_{h_1=0}} \right] \quad \dots \dots \dots (15)$$

ここで、 $(R/H_0)_{h_1=0}$ ：堤脚水深  $h_1=0$  における遷上高。 $\tan \alpha=1/10$  については、Saville の実験値<sup>11)12)</sup>、 $\tan \alpha=1/20$  および  $1/30$  については、豊島らの実験値<sup>14),15),16)</sup>がある。

$h_b'$ ：対象とする  $H_0/L_0$  および  $\tan \theta$  において、最大遷上高を生ずる堤脚水深。図-6(b) で示されるが。

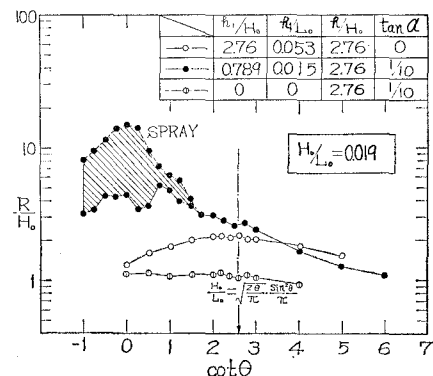
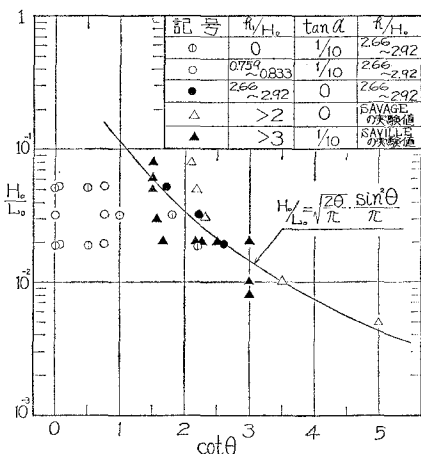
$\tan \alpha$ ,  $H_0/L_0$  および  $\tan \theta$  によってかなり変化する。なお、 $\tan \alpha=1/9$ ,  $\tan \theta=1$  について、佐藤<sup>11),24)</sup>の実験値、 $\tan \alpha=1/10$ ,  $\tan \theta=\infty$  について石原・岩垣ら<sup>5)</sup>の実験値、 $\tan \alpha=1/17$ ,  $\tan \theta=1/2$  について、佐藤・岸<sup>13)</sup>の実験値および  $\tan \alpha=1/20 \sim 1/30$  について、豊島ら<sup>14),16)</sup>の実験値がプロットされている。近似的に、首藤<sup>17)</sup>の進行波の碎波限界の水深が適用できる。

$(R/H_0)_{\max}$ ：対象とする  $H_0/L_0$  および  $\tan \theta$  における最大遷上高。 $h_b'$  を式(7)および(8)に代入して求まる。

### (3) 最大遷上高を生ずるのり勾配

図-8は  $R/H_0$  と  $\cot \theta$  の関係を 3 種類の堤脚水深(重複波水深、碎波以浅および汀線領域)について検討したものであるが、碎波以浅および汀線領域では、 $(R/H_0)_{\max}$  を生ずる  $\cot \theta$  は一般に  $0 \sim 1$  の間にあり、重複波水深領域の場合より小さい。

図-9は  $(R/H_0)_{\max}$  を生ずる  $\cot \theta$  が  $H_0/L_0$  および  $h_1/H_0$  によってどのように変化するかを調べ、式(11)

図-8 遷上高におよぼす堤脚水深の影響  
( $H_0/L_0=0.019$  の波)図-9 最大遷上高を生ずるのり勾配  
(堤脚水深の影響)

の値と比較したものである。

これらより、式(11)は、重複波水深領域の  $(R/H_0)_{\max}$  を生ずる条件とはほぼ一致しているが、碎波以浅および汀線領域では一般に式(11)と一致せず、 $\cot \theta = 0 \sim 1$  の間にプロットされる。

このように、碎波以浅および汀線領域では、重複波水深領域の場合より急な勾配で最大遇上高を生ずるが、その理由として、①碎波後の波が急な勾配に衝突すると、大小の水塊および飛沫が生じ、鉛直方向に飛散しやすい。②碎波後の波の変形およびエネルギー損失がのり勾配および海底勾配によって著しく影響される、などの原因があげられる。

## 4.2 越波水量

### (1) 堤脚水深の影響

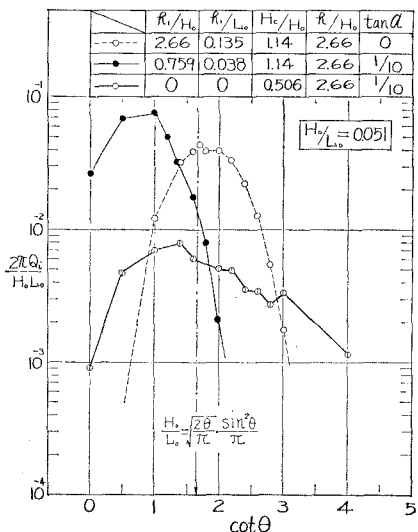


図-10 越波水量におよぼす堤脚水深の影響  
( $H_0/L_0 = 0.051$  の波)

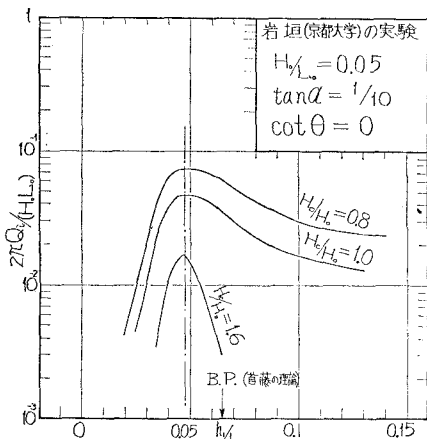
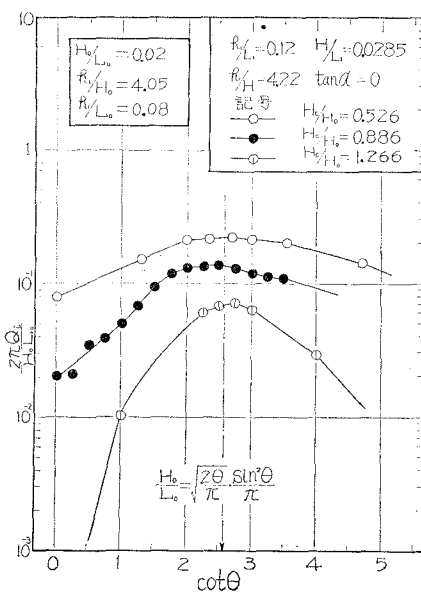
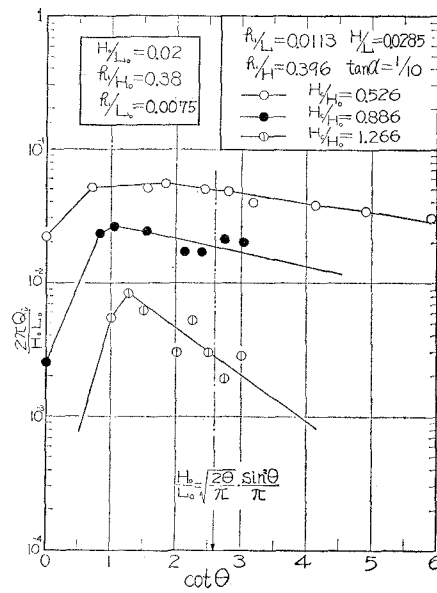


図-11 越波水量におよぼす堤脚水深の影響  
( $\cot \theta = 0$  の場合)



(a) 重複波水深領域の場合



(b) 碎波以浅領域の場合

図-12 越波水量におよぼす天端高の影響

図-10 は 3 種類の堤脚水深（重複波水深、碎波以浅および汀線領域）について、 $2\pi Q_t / (H_0 L_0)$  と  $\cot \theta$  の関係を調べたものである。

これより、堤脚水深によって越波の傾向がかなり変化しており、とくに、越波を最大にする  $\cot \theta$  がかなり異なることがわかる。碎波以浅および汀線領域では、一般に重複波水深領域の場合よりやや急な勾配において越波の最大を生ずる。

図-11 は岩垣が、鉛直堤について越波水量と堤脚水

深の関係を調べたものである<sup>22)</sup>。

これより、越波を最大にする堤脚水深は碎波点よりやや浅いところで生ずるが、波の週上高の場合と同様、のり勾配、波形勾配および海底勾配などによって変化すると考えられる。詳細については、今後の研究に待たねばならないが、図-6(b)の $(R/H_0)_{max}$ を生ずる条件とほぼ一致すると推測される。

### (2) 天端高の影響

越波を最大にするのり勾配が、天端高によって異なるかどうか。また、越波水量とのり勾配の関係が天端高によってどのように変化するかを調べる。

重複波水深領域の実験結果は、図-12(a)、碎波以浅領域の実験結果は、図-12(b)に示される。

これらより、天端高が高くなると、のり勾配の変化による越波水量の増減の割合が著しく大きくなる。また、越波水量を最大にするのり勾配は、天端高が変化してもほぼ無関係であるので、堤脚水深と波形勾配の条件によって決まると考えられる。

### (3) 最大越波水量を生ずるのり勾配

図-13は越波を最大にするのり勾配が、波形勾配および堤脚水深によってどのように変化するかを調べ、式(11)と比較したものである。

これより、式(11)を重複波水深領域の最大越波を生ずる条件式とみなしてよいと考えられる。

しかし、碎波以浅および汀線領域では、一般に、式(11)の条件と一致しないで、曲線の内側にプロットされる。

このように、碎波以浅および汀線領域では、重複波水深領域の場合よりやや急なのり勾配で最大越波を生ずる理由として、碎波後の波の変形およびエネルギー損失が、のり勾配および海底勾配によって著しく影響される

ことと飛沫を生じやすいためと考えられる。

### 4.3 波の反射率

堤体に衝突する波の反射率は、のり勾配、波形勾配、堤脚水深および海底勾配などによって著しく変化する。

Miche<sup>23)</sup>は、重複波水深領域における堤体の反射率を次のように提案している。

$$i) H_0/L_0 > \sqrt{2\theta/\pi} \cdot \frac{\sin^2 \theta}{\pi} \quad (\text{breaking waves 領域})$$

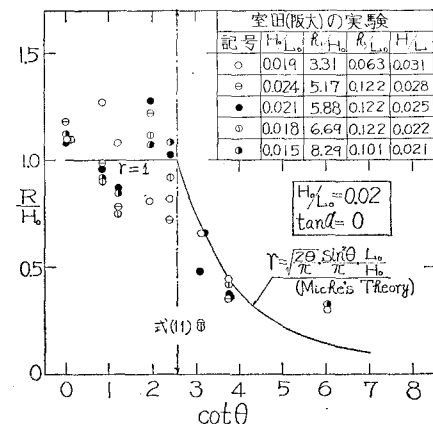
$$\frac{r}{\zeta} = \sqrt{\frac{2\theta}{\pi}} \cdot \frac{\sin^2 \theta}{\pi} \cdot \frac{1}{H_0/L_0} \quad (16)$$

$$ii) H_0/L_0 \leq \sqrt{2\theta/\pi} \cdot \frac{\sin^2 \theta}{\pi} \quad (\text{surging waves 領域})$$

$$\frac{r}{\zeta} = 1 \quad (17)$$

$\zeta$ : 反射係数 ( $\leq 1$ )

室田は、図-14(a)に示すように、式(16)および(17)が反射率の傾向をかなり的確に表わしていること



(a) 重複波水深領域  
(室田の実験値と Miche 式の比較)

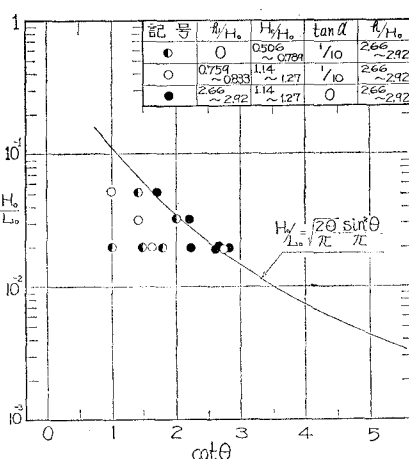
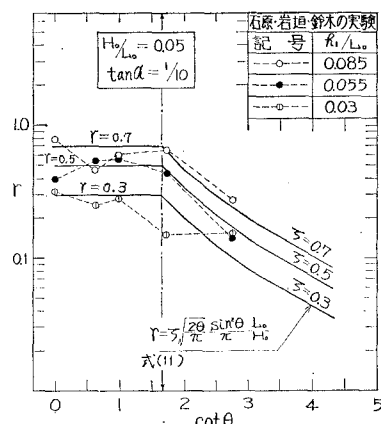


図-13 最大越波水量を生ずるのり勾配  
(堤脚水深の影響)



(b) 碎波以浅領域  
(石原・岩垣・鈴木の実験値と Miche の式の比較)

図-14 反射率とのり勾配の関係

<sup>3), 4)</sup> を明らかにしている。

一方、碎波以浅および汀線領域では、石原・岩垣・鈴木の実験<sup>5)</sup>があるが、式(16)および(17)と比較すれば、図-14(b)のように示される。

これより、反射係数  $\kappa$  を適当に与えれば、実験の傾向をかなり的確に説明できるので、碎波以浅領域においても式 (16) および (17) が近似的に適用できると考えられる。

さらに、図-16(a)および(b)に併記した反射率 $r$ は、堤脚水深 $h_1$ との関係を調べたものであるが、これらより、碎波以浅領域の一般式は近似的に次の式で表わすことができる。

ここで、 $r_{\max}$ ：重複波水深領域における  $H_0/L_0$  および  $\theta$  の反射率。式(16)および(17)より求まる。あるいは、Greslon-Mahe の実験値<sup>11), 23)</sup>が適当であろう。

$h_1$ : 堤脚水深,  $r_{h=0}$ :  $h_1=0$  における反射率, 石原・岩垣・鈴木の実験値<sup>5), 22)</sup>が適当であろう。

$h_b$ :碎波水深。

#### 4.4 週上高、越波水量および反射率の関連性

波の遡上、越波および反射に関する従来の研究は、それぞれ、独立して取り扱われてきたので、相互の関連性

が十分明らかにされていないようである。

ここでは、それらの観点より、同一波形勾配の波について、遇上高、越波水量および反射率の相互の関連性が堤脚水深によってどのように変化するかを明らかにして、それぞれの現象の位置づけを定量的に示すことを目的としている。

そこで、3種類の堤脚水深（重複波水深、碎波以浅および汀線領域）を対象にして、3種類の波形勾配について調べた結果が、図-15(a), (b) および(c)に示される。(a) 図は  $H_0/L_0=0.051$  の波、(b) 図は  $H_0/L_0=0.032$  の波、(c) 図は  $H_0/L_0=0.019$  の波である。

これらは、遡上高、越波水量および反射率とのり勾配の関係を同一の図上で比較して、相互の関連性を検討したものである。

これらの図より明らかなことは、重複波水深領域では、遡上高および越波水量を最大にするのり勾配は一致し、そののり勾配は、全反射する最緩のり勾配とも一致するので、その条件は、式(11)より求められる。

また, breaking waves 領域では, 邊上高, 越波水量および反射率はのり勾配  $\tan \theta$  の増加関数となり, surging waves 領域では, 邊上高および越波水量は  $\tan \theta$  の減少関数となり, 反射率は一定となる。

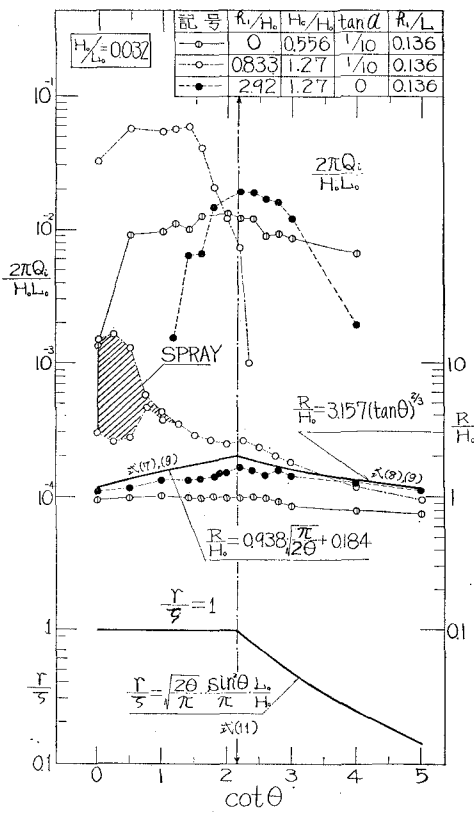
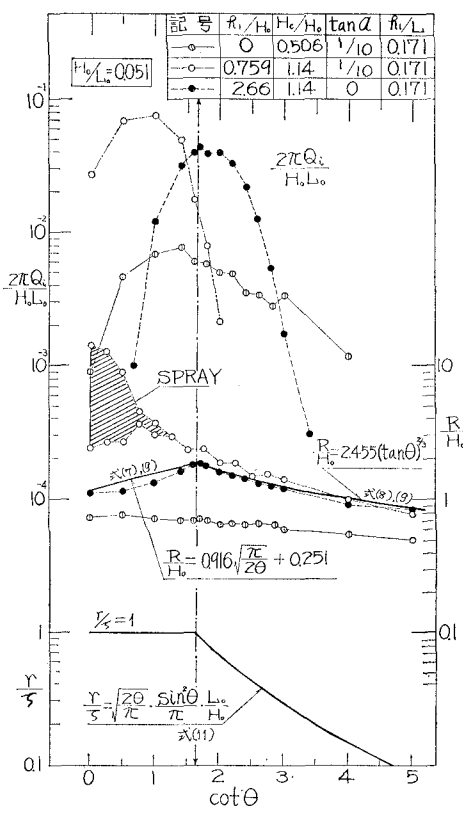


図-15 波の潮上・越波による反射の関連性(1) 潮位の変動

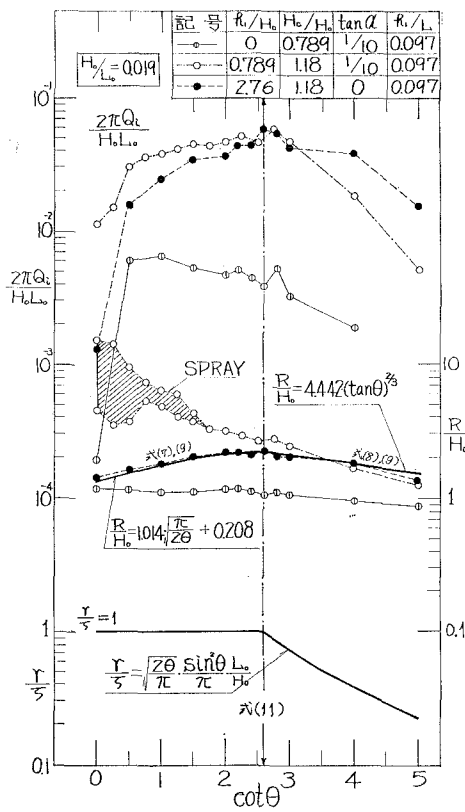
(c)  $H_s/L_0=0.019$  の波

図-15 波の遡上、越波および反射の関連性におよぼすのり勾配の影響

一方、碎波以浅および汀線領域では、遡上高を最大にするのり勾配は、最大越波水量を生ずるのり勾配よりやや大きくなり、一般に一致しない。また、最大遡上高および最大越波水量を生ずるのり勾配は、式(11)で求まるのり勾配よりやや大きくなり、一般に一致しないことがわかる。

以上のこととは、遡上高を根拠に海岸堤防ののり勾配および天端高を決めている従来の設計方針は、重複波水深領域では妥当であるが、碎波以浅および汀線領域では、誤った結果を導くこともあり得ることを示唆している。

図-16(a)および(b)は、鉛直堤を対象にして、遡上高、越波水量および反射率の相互の関連性が堤脚水深によって、どのように変化するかを検討したものである。

これより、遡上高を最大にする堤脚水深と越波水量を最大にする堤脚水深はほぼ一致しており、鉛直堤の場合は、碎波点よりやや浅いところで生ずることがわかる。

また、反射率は、碎波点を境に碎波以浅では急激に減少するので、最大遡上高および最大越波水量を生ずる堤脚水深と関連させることができる。

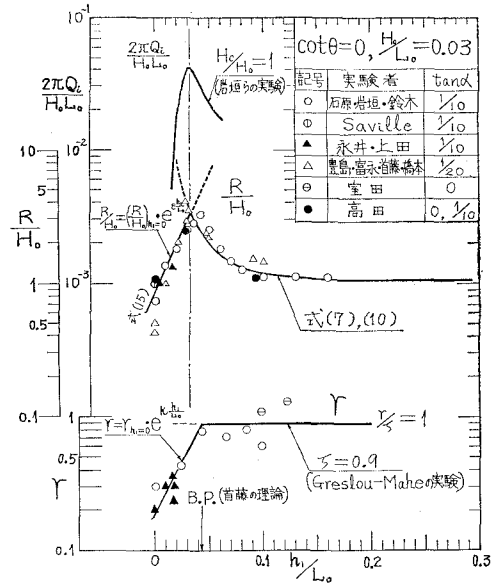
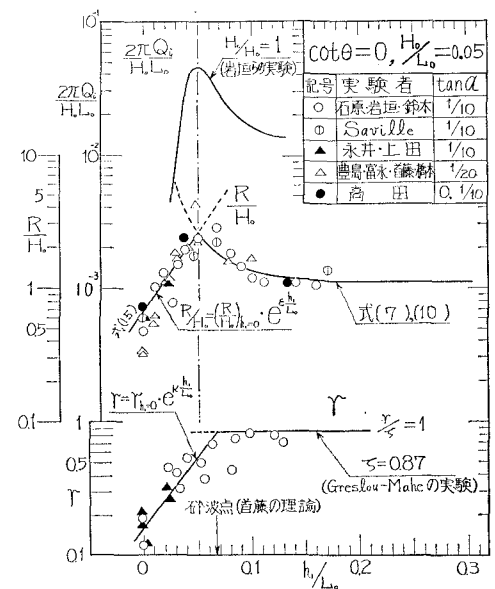
(a)  $H_s/L_0=0.03$  の波(b)  $H_s/L_0=0.05$  の波

図-16 波の遡上、越波および反射の関連性におよぼす堤脚水深の影響(鉛直堤の場合)

## 5. 結 論

遡上高、越波水量および反射率とのり勾配の関係が堤脚水深によってどのように変化するかを調べ、遡上高については算定式を提案し、その適合性と適用限界を検討した。越波については、越波を最大にするのり勾配が、波形勾配と堤脚水深によってどのように変化するかを明らかにすることができた。

さらに、遡上高、越波水量および反射率の相互の関連

性を検討し、堤脚水深の影響を明らかにすことができた。

主な研究成果は、堤脚水深を重複波水深、碎波以浅および汀線領域に区別すれば、次のとおりである。

#### 重複波水深(碎波以深)領域では、

1) 堤体に衝突する波は、surging waves と breaking waves に大別されるが、surging waves 領域の遡上高は式(7)、breaking waves 領域の遡上高は式(8)が提案され、両式を計算するとき式(10)を用いると適合性がよい。また、式(7)および(8)の適用限界は、のり勾配、波形勾配および海底勾配によって異なるが、図-6(b)で示され、近似的に、碎波点あるいは、碎波点前後と考えられる。

2) 同一のり勾配において、最大遡上高および最大越波水量を生ずる堤脚水深は図-6(b)で示され、算定式(7)および(8)の適用限界とほぼ一致する。

3) 遡上高および越波水量を最大にするのり勾配と全反射する最緩のり勾配が一致しており、その条件は、式(11)で表わすことができる。

#### 碎波以浅および汀線領域では、

1) 遡上高の一般式は、式(15)で表わすことができる。

2) 反射率の一般式は、式(16)および(17)で表わされ、反射係数  $\bar{r}$  が仮定されると求まる。また、堤脚水深との関係は式(18)で表わされる。

3) 同一のり勾配において、遡上高および越波水量を最大にする堤脚水深はほぼ一致し、そのときの堤脚水深は図-6(b)で示され、近似的に碎波点およびその前後にある。

4) 同一堤脚水深において、越波水量を最大にするのり勾配は、天端高には無関係であり、波形勾配によってきまる。また、最大遡上高を生ずるのり勾配よりやや小さいのり勾配で生ずる。

5) 遡上高および越波水量を最大にするのり勾配は、式(11)で示される値より一般に大きい。

**【付 記】** 本研究を進めるにあたり、名古屋大学足立昭平教授のご指導をいただいた。また、研究の一部に、昭和45年度文部省科学研究費の奨励研究および特定研究(代表者: 北海道大学尾崎晃教授)を使用させていただいた。ここに記して、感謝の意を表します。

#### 参考文献

1) 高田 彰: 波の遡上、越波および反射の関連性について、土木学会論文報告集、第182号、1970年10月。

- 2) Miche, M.: Le pouvoir réfléchissant des ouvrages maritimes exposés à l'action de la houle, Annales des Ponts et Chaussées, 1951.
- 3) 室田 明・山田哲二: 反射に関する基礎的研究、第13回海岸工学講演会講演集、昭41.12.
- 4) 室田 明: 粗な斜面からの反射に関する実験的研究、第14回海岸工学講演会講演集、昭42.10.
- 5) 石原藤次郎・岩垣雄一・鈴木雄太: 海岸堤防の設計、特にその有効高について、第2回海岸工学講演会講演集、昭30.11.
- 6) Mason, M. A.: The transformation of waves in shallow water, Proc. 1st Conf. on Coastal Eng., 1951.
- 7) Iversen, H. W.: Waves and breakers in shoaling water, Proc. 3rd Conf. on Coastal Eng., 1951.
- 8) 岸 力・庵原照太郎: 海岸堤防に関する研究(7)——波の変形と碎波に関する実験的研究——、建設省土木研究所報告、第95号、昭33.3.
- 9) 三井 宏: 実験水路の水平部水深の影響について、第17回中国四国支部学術講演会講演概要、昭40.12.
- 10) 三井 宏: 模型実験に対する沖の水深の影響について、第18回中国四国支部学術講演会講演概要、昭41.11.
- 11) 土木学会編: 水理公式集(昭和38年増補改訂版)、昭38.8.
- 12) Saville, T. Jr: Wave run-up shore structures, Transaction, ASCE, Vol. 123, 1958.
- 13) 佐藤清一・岸 力: 海岸堤防の形状特性並びに陸岸への遡上、第3回海岸工学講演会講演集、昭31.11.
- 14) 豊島 修・首藤伸夫・橋本 宏: 海岸堤防への波のうちあげ高——海底勾配1/30——、第11回海岸工学講演会講演集、昭39.11.
- 15) 豊島 修・首藤伸夫・橋本 宏: 海岸堤防への波のうちあげ高——海底勾配1/20——、第12回海岸工学講演会講演集、昭40.11.
- 16) 豊島 修・富永正照・橋本 宏: 海岸堤防に関する研究(8)——波のうちあげ高——、建設省土木研究所報告、第131号、昭42.11.
- 17) 首藤伸夫: 有限振幅波について——高次級数解による進行波の碎波限界——、建設省土木研究所報告、第111号、昭37.9.
- 18) Beach Erosion Board: Shore protection planning and design, B.E.B. Tech. Report, No. 4, 1961.
- 19) Suquet, F. and A. Wallet: Basic experimental wave research, Proc. Minnesota Internat. Hyd. Convention, I.A.H.R., 1953.
- 20) Iversen, H. W.: Waves and breakers in shoaling water, Proc. 3rd Conf. on Coastal Eng., 1952.
- 21) 岸 力: 海岸堤防に関する研究(2)——有限振幅の浅水重複波——、建設省土木研究所報告、第90号、昭30.3.
- 22) 岩垣雄一: 海岸堤防論、水工学シリーズ、64-08、土木学会水理委員会、昭39.7.
- 23) Greslou, L. et Y. Mohe: Etude du coefficient de réflexion d'une houle sur un obstacle constitué par un plan incliné, Proc. of 5th Conf. on Coastal Engineering, 1958.
- 24) 佐藤清一: 海岸堤防の設計について、第1回海岸工学講演会講演集、昭29.11.